

慶應工業大学 正員 奥村哲夫
 " " 大根義男
 " " 佐々木国朝

1. はじめに

河川堤防やフィルタームの基礎材料としてその周辺の材料の利用(主に砂質土)を用いる場合がある。特にフィルタームのものは水利構造物ではその堤体内部は貯水によって常時飽和状態となり、地震時には液状化の発生する可能性がある。ところで、貯水によって飽和した材料の液状化強度は、締固め時の含水比、締固めエネルギー、締固め温度等の影響を受けると考えられる。例えば、最適含水比より乾燥側の含水比で締固めた材料では粒子内部の空気のため割合が大きいことから、水浸による過度構造の崩壊が顕著と現われる(同一締固めエネルギー、同一震度)で締固められたものより液状化強度が低くなることが考えられる。また、締固められた材料は一種の先行的充填力を有する(ことを示す)、その液状化強度は震度時の拘束圧の違いによって異なり値を示すと考えられる。

そこで、締固められた砂質土の液状化強度特性を把握するための基礎資料を得ることを目的として、図2Kハイドロ含水比と密度をもつて供試体の液状化試験を実施し得られた結果を示す。

表-1 試料の物理的性質

2. 試料および試験

Gs	粘土分	シルト分	砂分	最大粒径	均等係数	D ₅₀
2.649	7.0%	10.5%	82.5%	2.0mm	37	0.38mm

供試体に加えて先行充填を実験したためK/K表示するよう装置を用いて締固め試験を行った。これは、直徑50mm、高さ125mmのモールドで締固め後の厚さが25mm程度となるよう試料をつめ、ジャッキを用いてこの表面を所定の圧力で達するまで静的に加压する。そしてこの操作5回繰り返して試料を締固めろ方法である。干種類の加圧力(250kgf/cm²~1000kgf/cm²)で行なった締固め試験の結果を図2Kに示す。なお、図2の破線はJIS規定(2.5kgf/cm²、3kgf/cm²)Kまで得られた締固め曲線である。供試体(直徑50mm、高さ125mm)の作成は図1の装置を用いて行ない、加圧力P_f(P_f=1000kgf/cm²)の締固めによる最大乾燥密度($\gamma_{d,max,f}$)おむね11~20kg/cm²の範囲の干種類の含水比で $0.95\gamma_{d,max,f}$ の密度とするよう締固めを行った。供試体の飽和は、あらかじめグリースリーブをつけた供試体を二つのモールドの中へ入れ、水頭差約70cmで通常の透水試験と同じ方法で行なった。試験は、通常の振動三輪試験装置を用いた。初期拘束圧(σ_0')は1.0、 $\sigma_0 < \sigma_0'$ では30kg/cm²の3種類とした。載荷波形は振動数2.0Hzの正弦波である。なお、完全飽和を期すために10kg/cm²ハバードアレンジャーを供試体に与えた。

3. 実験結果

《静的強度特性》 各々の供試体の浸水による静的強度特性の変化を調べるために軸圧縮試験を行なった。この結果を圧縮強度(f_u)と締固め時の含水比(W)の関係で図3Kに示した。なお、図3の実線は加圧力P_fで締固めた結果、また破線は同一密度($\gamma_d=1.67\sim1.69\text{kg}/\text{cm}^3$)の結果である。図から、いずれの供試体においても浸水後の強度は浸水前と比較して低い値を示しており、浸水による強度の低下は低含水比で締固めた供試体の方が著しく、高含水比の方はほとんど変化しないことがわかる。また、 $W < 17\%$ では、同一密度の供試体の浸水前の強度との増大がせん断圧の低下に伴って減少しているが、浸水後の強度は一定値を保っている。しかし、 $W > 17\%$ では、強度は兩者ともに幾分大きな値を示す。

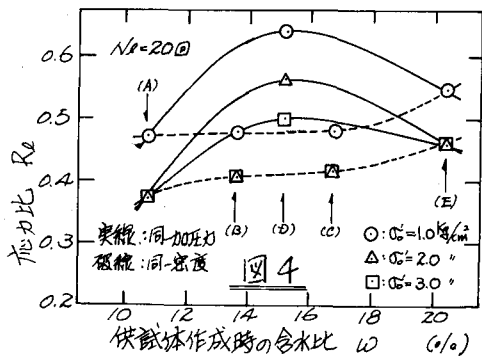
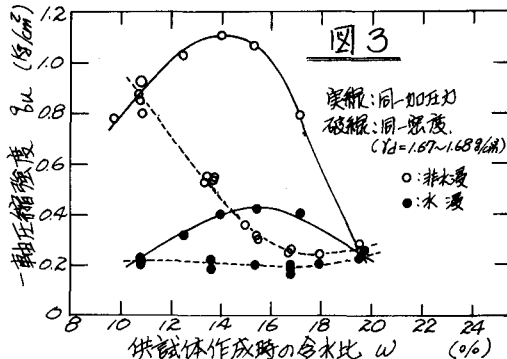
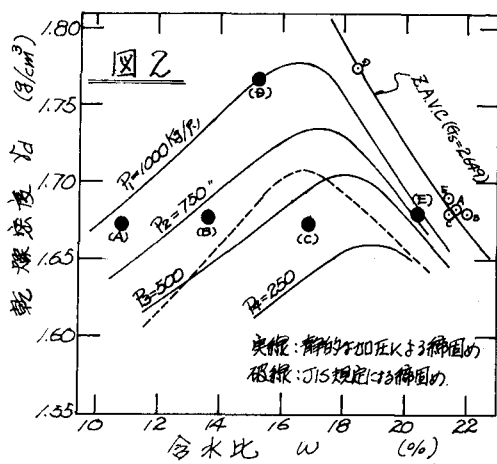
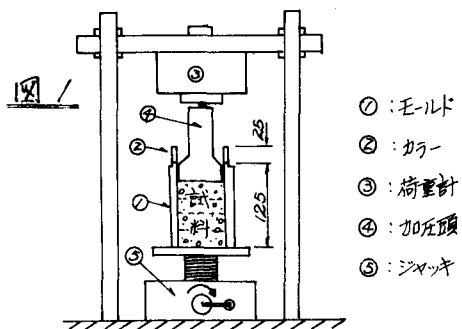
《液状化強度特性》 各々の供試体の浸水前の密度と含水比の関係は図2のA~E表の値と行った。また、実験後の値は図2のゼロ空隙曲線附近に集中しており、供試体はほぼ飽和状態にいったと考えられる。各供試体が

20回の載荷で丁度液状化するときの応力比(R_e)と締固め時の含水比の関係を示したのが図4である。液状化の判定は永久ひずみが発生し始めた時をとした。加圧力 P の締固め曲線にはAに対応するA、ひずみが正負の応力比は含水比の変化に對してい形の曲線を示すような変化を示す(たゞし、 σ_0 によって R_e は異なる)、最適含水比付近で最大値を示している。また、A点の応力比は正負とも13~17%程度低い値を示す。これらのこととは図3に示した R_e の特性と同様で、最適含水比付近で締固めた供試体では強度も高く、さらには当所の強度をほんの少し下げるまで浸水後も安定して粒子構造を保つことから応力比も最大値を示す。また、同一强度、同一加圧力であつても乾燥側で締固めた供試体は浸水により粒子構造の崩壊が顕著に現われたため湿潤側より低い応力比を示すと考えられる。

同一密度ではあるが、加圧力の異なるA(左はE)、B(右はC)点の応力比と含水比の関係は図4の破線で示すような結果となり、図3の結果と良く似た傾向を示している。また、図2からわかるように、加圧力 P の値が各々異なっていてもかかわらず応力比はほぼ一定の値を示す。いわゆる供試体においても、 $\sigma_0=1.0 \text{ kg/cm}^2$ のもとで得られた結果は他の拘束圧のものより大きな応力比を示し、 σ_0 の違いによって異なった応力比を示す。これらことは、供試体作成時に与えた応力が σ_0 (1.0 kg/cm^2)より大きくなり、実験時には一種の過圧密状態にあつたためと考えられる。

4. 結論

締固めた砂の液状化強度は一軸圧縮強度と似かよった傾向を示し、最適含水比付近で締固めた場合、応力比は最大となるが、乾燥側で締固めた場合は浸水による影響が著しく大きな値は期待できない。さらに、締固め時の先行荷重の影響により応力比は拘束圧によって異なった値を示す。



参考文献 1) 奥林大根 "乱れ砂の土質の液状化特性" 自然災害科学中部地区
シンポジウム, 1978, 2) 久野悟郎 "土の締固め" 技報堂 3) 山口大根
"ルルクムの設計における施工" 技報堂